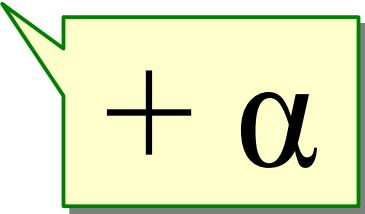


# 重陽子テンソル偏極標的と HERMESの結果



+  $\alpha$

*Measurement of the Tensor Structure Function  $b_1$  of the Deuteron*

A. Airapetian et al, Phys. Rev. Lett. 95 (2005) 242001, 6pp

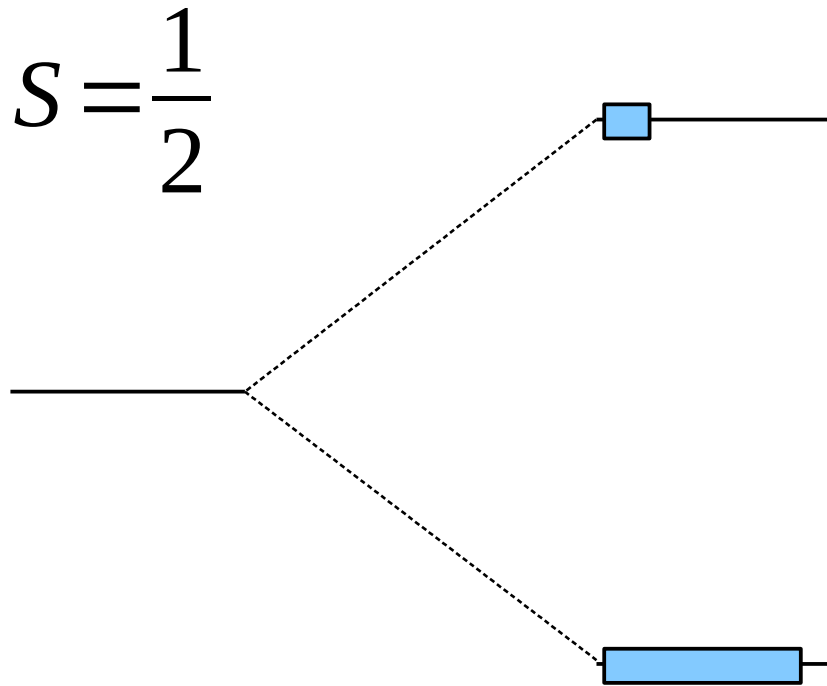
*The HERMES Polarized Hydrogen and Deuterium Gas Target in the HERA Electron Storage Ring*

A. Airapetian et al, Nucl. Instr. and Meth. A540 (2005) 68

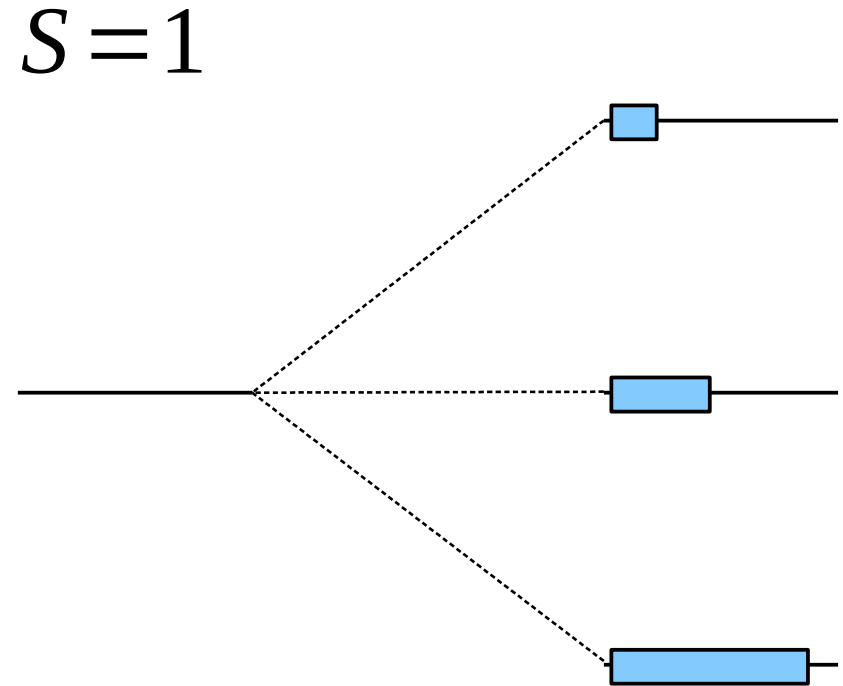
- 重陽子のスピン偏極
  - ベクトル偏極とテンソル偏極
- HERMESでの重陽子テンソル構造関数  $b_1$  測定
  - 実験装置
    - 重陽子テンソル偏極標的について
  - 構造関数  $b_1$  測定結果
- 重陽子テンソル偏極**固体標的**の可能性
  - 将来計画
- まとめ

# 重陽子のスピン偏極

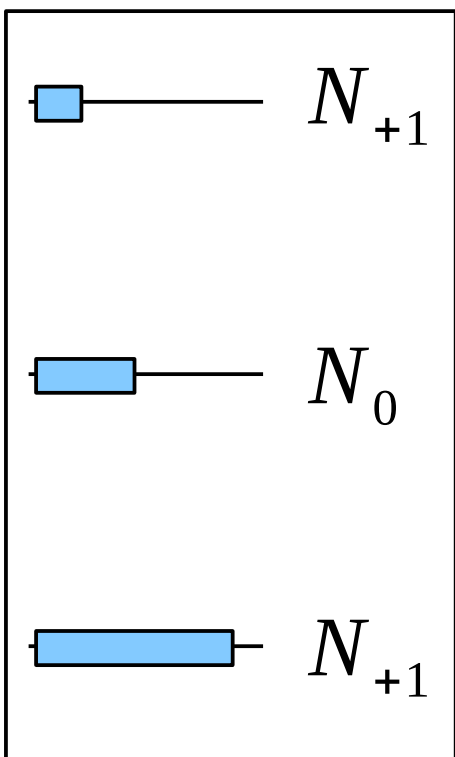
陽子



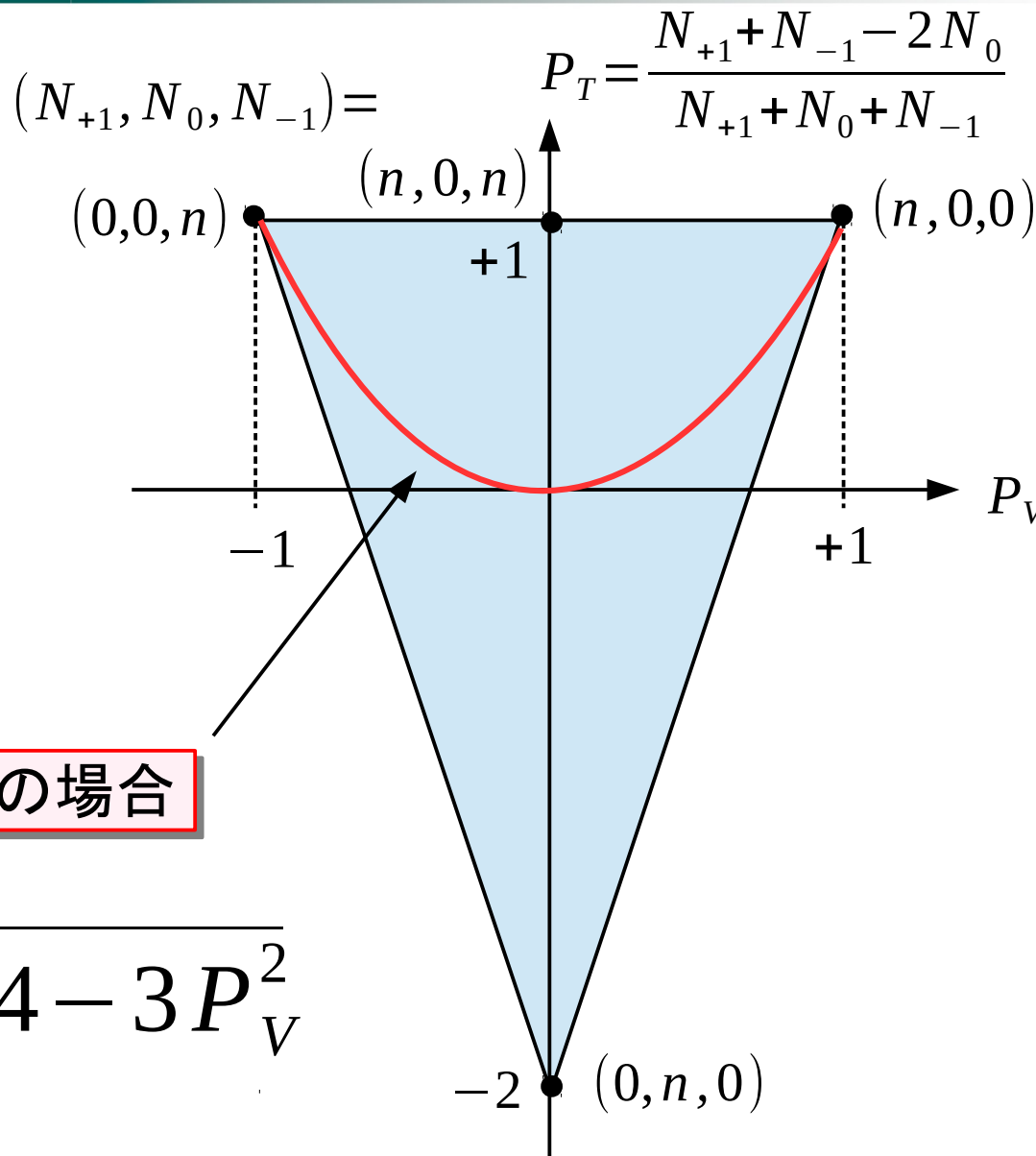
重陽子



# 重陽子のスピン偏極: ベクトル vs テンソル



ボルツマン分布の場合



テンソル偏極

ベクトル偏極

$$P_T = 2 - \sqrt{4 - 3P_V^2}$$

# ベクトル偏極、テンソル偏極：ボルツマン分布

$$S = 1$$

$$P_V = \frac{4 \tanh x}{3 + \tanh^2 x}$$

$$P_T = \frac{4 \tanh^2 x}{3 + \tanh^2 x}$$

$$x = \frac{\mu B}{2kT}$$

$$P_T = 2 - \sqrt{4 - 3P_V^2}$$

具体的な値

$$(P_V, P_T) = \begin{pmatrix} 0.3, 0.07 \\ 0.4, 0.12 \\ 0.5, 0.2 \end{pmatrix}$$

# HERMESでの構造関数 $b_1$ 測定

**Beam:** HERA electron / positron beam

27.6 GeV/c

longitudinally pol. ( up to 65%)

**Target:**

Longitudinally polarized H, D (P ~ 85%)

Transversely polarized H (P ~ 75%)

Unpolarized H, D, Nuclei

**Detector:**

- track reconstruction

momentum resolution < 2%

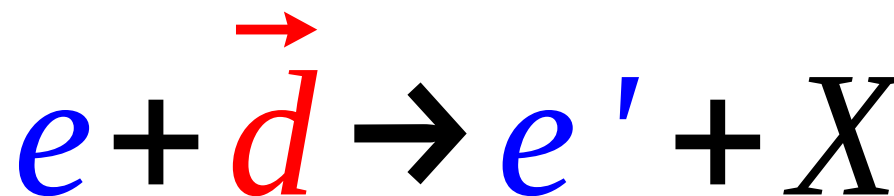
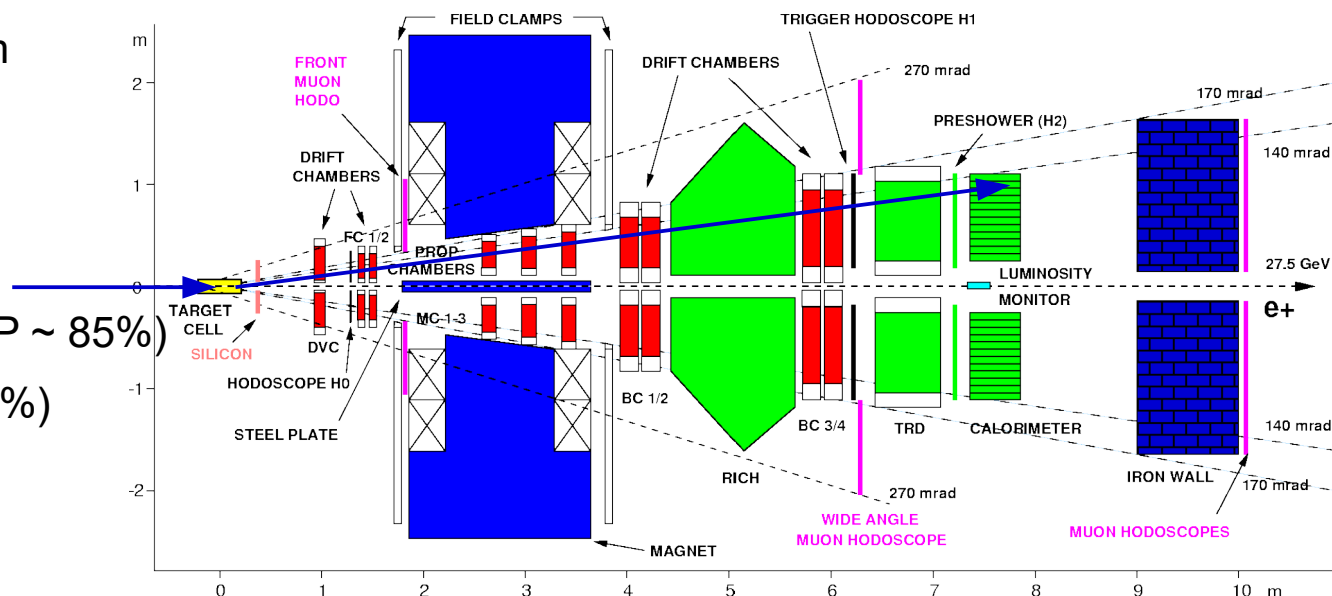
- lepton identification

hadron contamination < 1%

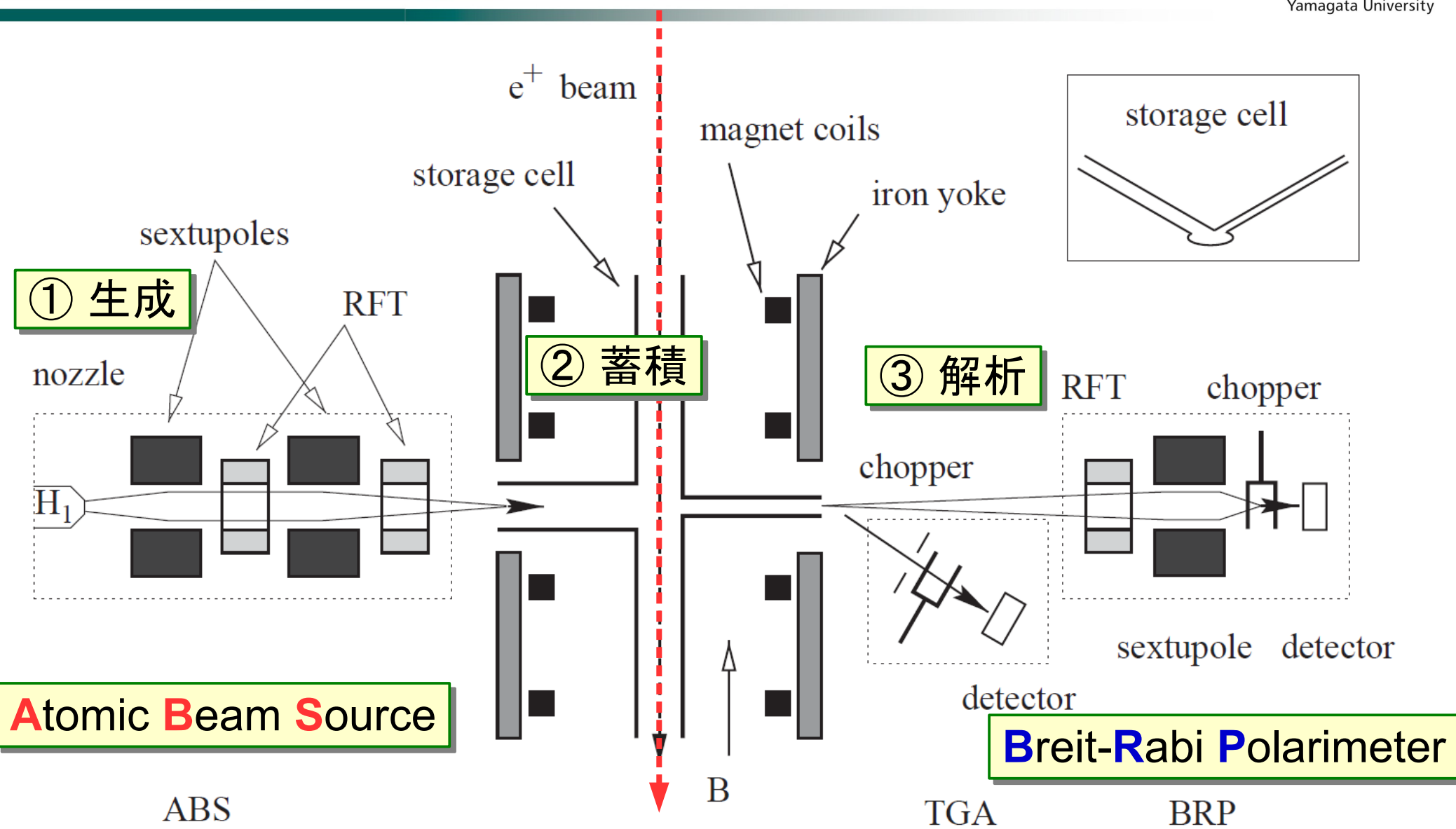
- hadron identification (pi,K,p)

RICH,  $2 < p < 15$  (GeV/c)

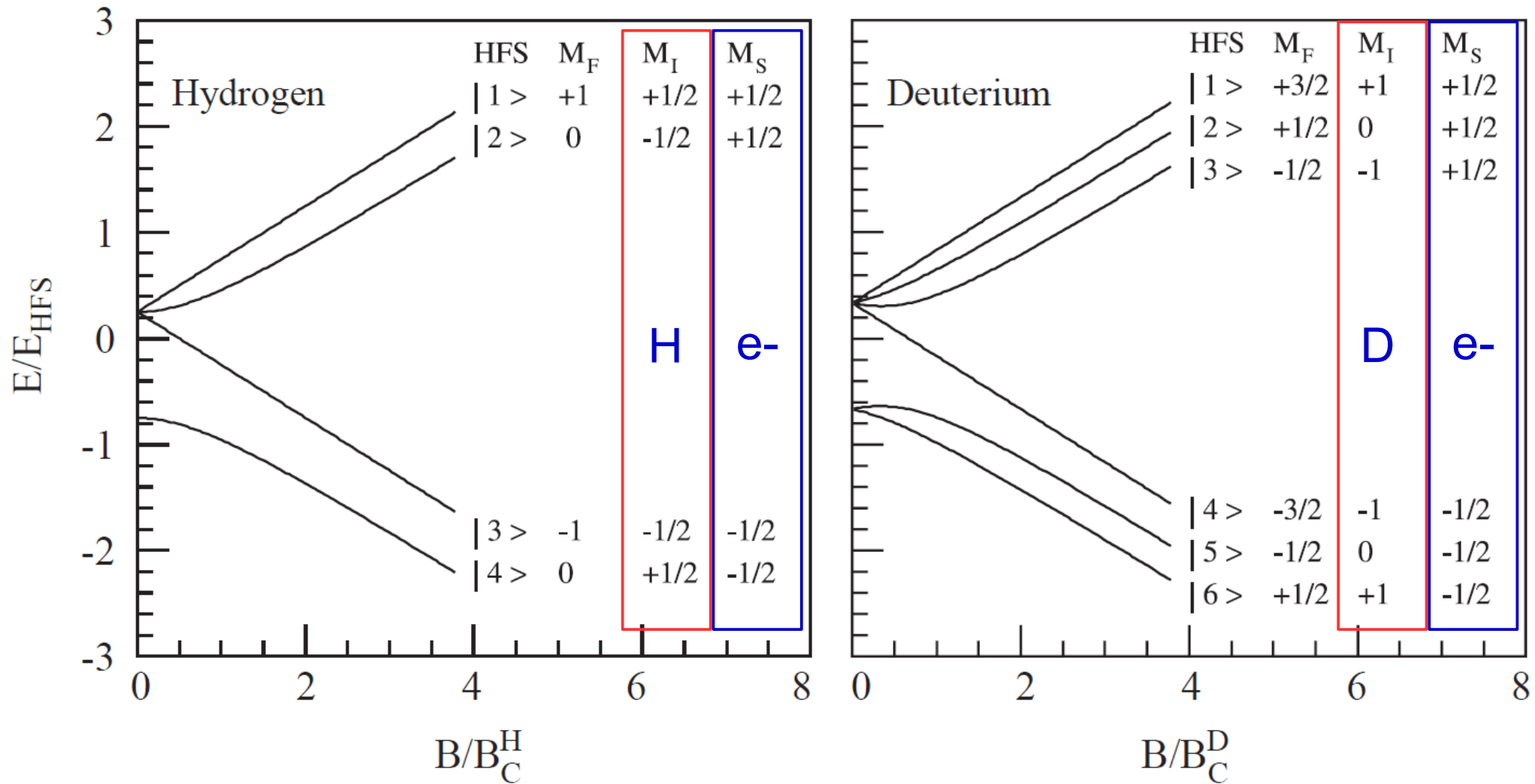
- recoil nucleon was not detected



# HERMES重陽子ガス標的



# Hyper-fine energy levels Hydrogen ( Deuterium ) Atoms

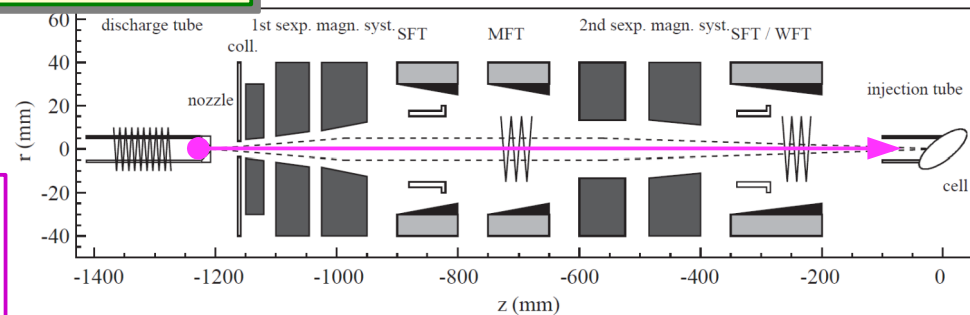




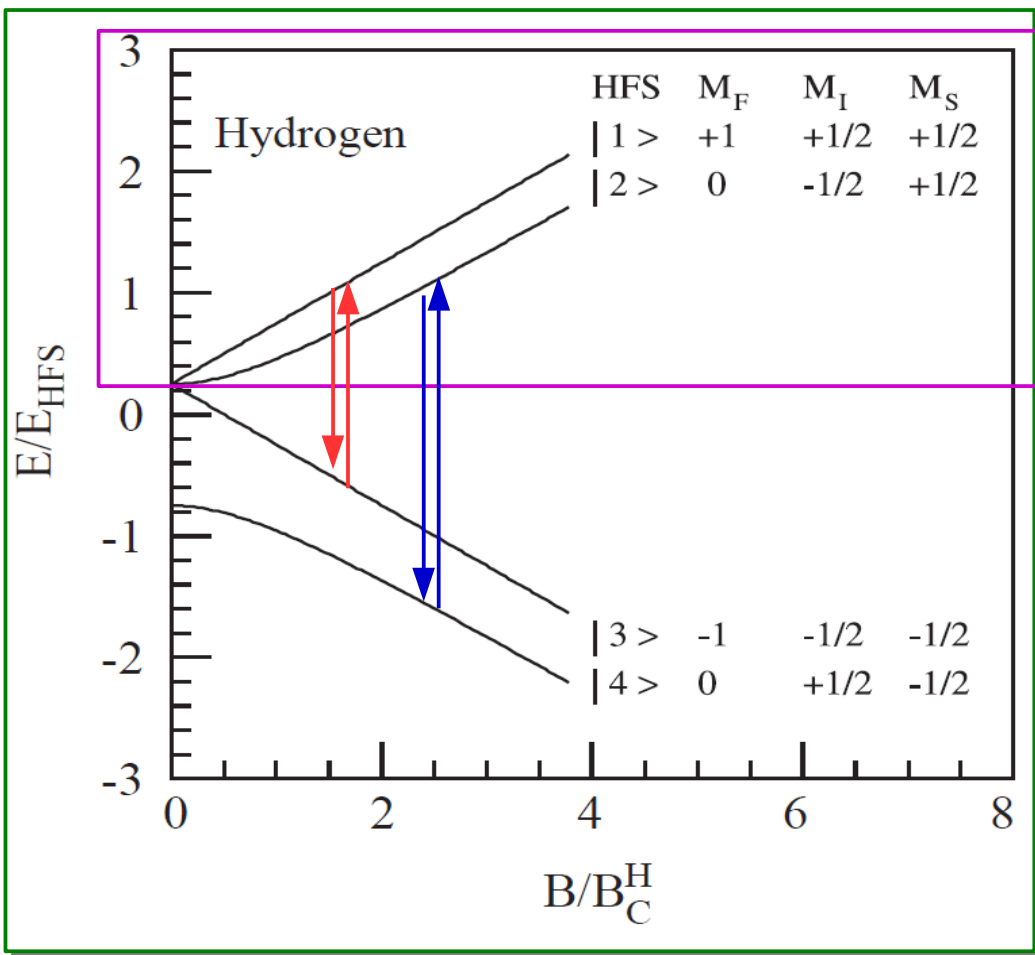


# 偏極手法

## ABS概要



$$M_S = +\frac{1}{2} \quad \text{のみを通過} \quad P_V = 0$$



$$1 \leftrightarrow 3 \quad |2\rangle, |3\rangle \quad P_V = -1$$

$$2 \leftrightarrow 4 \quad |1\rangle, |4\rangle \quad P_V = +1$$

$$P_{\text{injection}} \sim 0.97 \text{ (H)}, 0.91 \text{ (D)}$$

# ABS Injection Mode

Injection modes of the atomic beam source

Gas	HFT (betw. 6-poles)	HFT (after 6-poles)	Inj. states	$P_e$	$P_V$	$P_T$	Use
<b>H</b>	—	—	$ 1\rangle,  2\rangle$	+1	0	—	Cal
	—	WFT 1-3	$ 2\rangle,  3\rangle$	0	-1	—	Data
	—	SFT 2-4	$ 1\rangle,  4\rangle$	0	+1	—	Data
	SFT 2-4 / MFT 2-3	—	$ 1\rangle$	+1	+1	—	Cal
	WFT 1-3/MFT 1-3	—	$ 2\rangle$	+1	-1	—	Cal
	SFT 2-4 / MFT 2-3	WFT 1-3	$ 3\rangle$	-1	-1	—	Cal
	WFT 1-3 / MFT 1-3	SFT 2-4	$ 4\rangle$	-1	+1	—	Cal
	WFT 1-3, SFT 2-4	—	<i>no state</i>	—	—	—	Cal
<b>D</b>	—	—	$ 1\rangle  2\rangle  3\rangle$	+1	0	0	Cal
	SFT 2-5	WFT 1-4	$ 3\rangle  4\rangle$	0	-1	+1	Data
	SFT 3-5	SFT 2-6	$ 1\rangle  6\rangle$	0	+1	+1	Data
	MFT 1-4	SFT 3-5	$ 2\rangle  5\rangle$	0	0	-2	Data
	MFT 1-4	SFT 2-6	$ 3\rangle  6\rangle$	0	0	+1	Data
	MFT 3-4, SFT 2-5	—	—	—	+1	+1	Cal
	WFT 1-4, SFT 2-5	—	—	—	0	-2	Cal
	WFT 1-4, SFT 2-6	—	—	—	-1	+1	Cal
	MFT 3-4, SFT 2-6	WFT 1-4	—	—	—	+1	Cal
	WFT 1-4, SFT 3-5	SFT 3-5	—	—	—	-2	Cal
WFT 1-4, SFT 2-6	SFT 2-6	—	—	—	+1	Cal	

重陽子のスピン状態を個別に選択可能

高テンソル偏極を実現可能

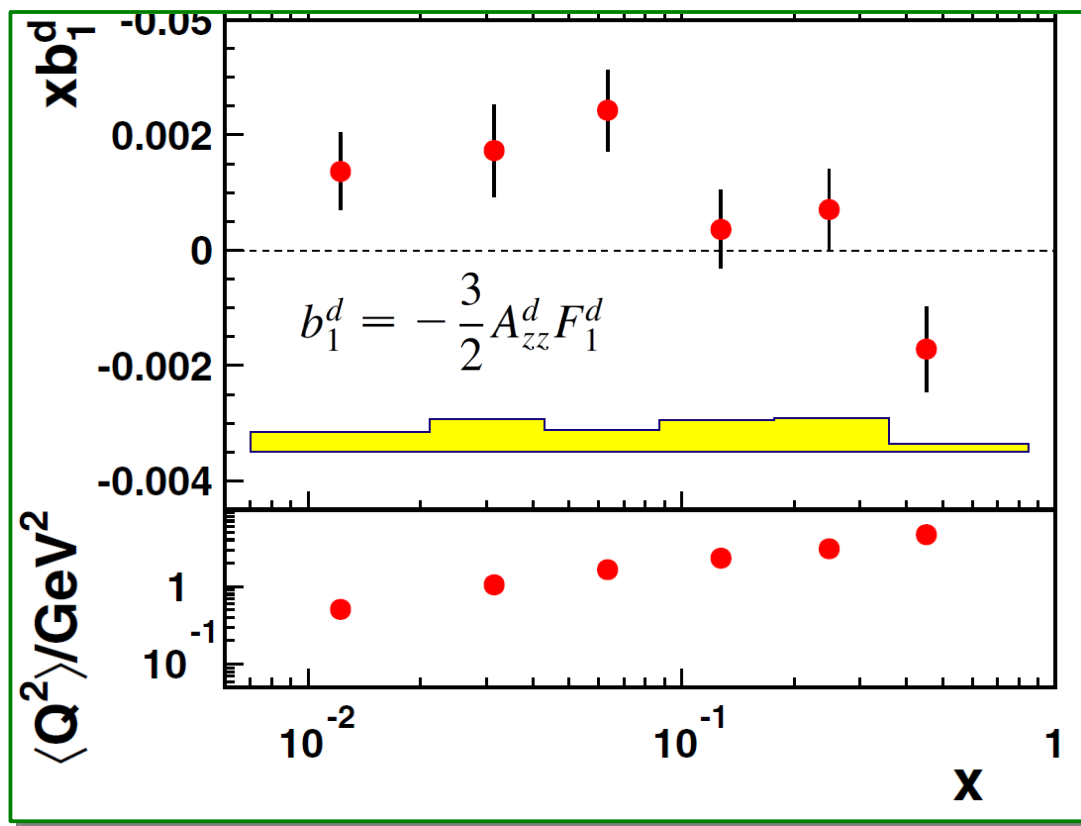
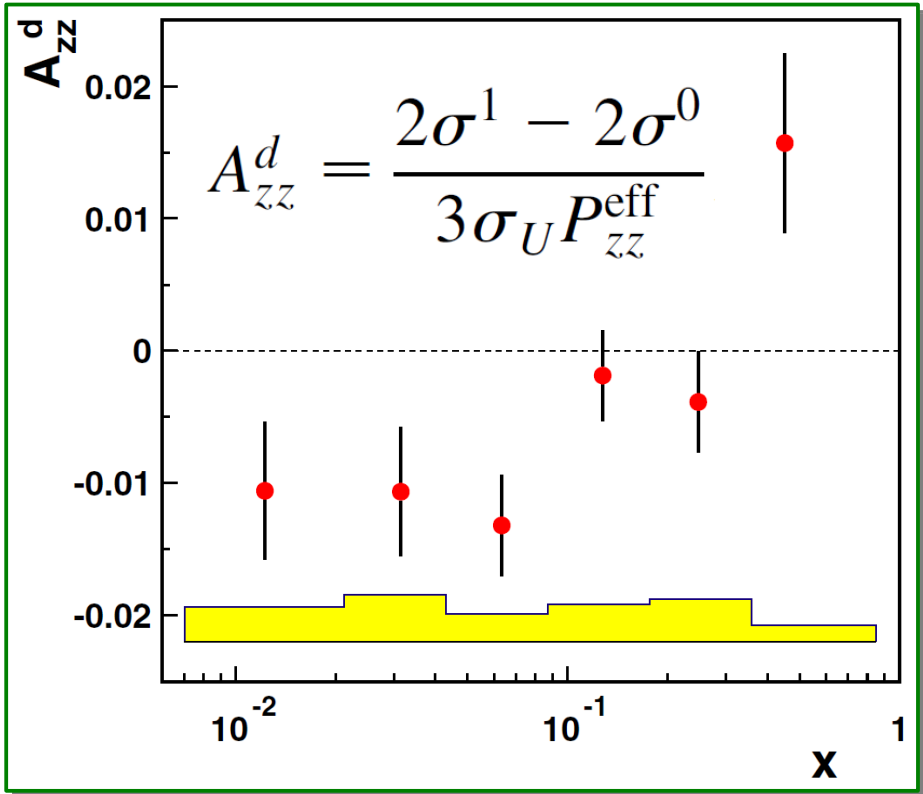
# 構造関数 $b_1$ 測定

$$P_{zz} = P_T$$

$$P_z = P_V$$



Target state	Hyperfine state	Atomic population	Tensor term $P_{zz}$	Vector term $P_z \times P_B$	Measured yield
vector <sup>+</sup>	$ 1\rangle +  6\rangle$	$n^+$	$+0.80 \pm 0.03$	$+0.45 \pm 0.02$	$\sigma^{\rightarrow}$
vector <sup>-</sup>	$ 3\rangle +  4\rangle$	$n^-$	$+0.85 \pm 0.03$	$-0.45 \pm 0.02$	$\sigma^{\leftarrow}$
tensor <sup>+</sup>	$ 3\rangle +  6\rangle$	$n^+ + n^-$	$+0.89 \pm 0.03$	$0.00 \pm 0.01$	$\sigma^{\leftrightarrow}$
tensor <sup>-</sup>	$ 2\rangle +  5\rangle$	$n^0$	$-1.65 \pm 0.05$	$0.00 \pm 0.01$	$\sigma^0$





# 固体標的による $b_1$ 測定

WF1 1-3, SFT 2-4	no state				Cal
SFT 2-5	WF1 1-4	11/1-1/1-1/1	+1	+1	Stat
SFT 3-5	WF1 1-4	12/1-1/1-1/1	+1	+1	Stat
WF1 1-3, SFT 2-4	SFT 2-6	(1) (6)	0	+1	Data

※ ILC-N: e-, 250 GeV, ~ 20 nA

偏極DISでの可能性

Beam: e-, 11 GeV (@Hall C), ~100 nA

Target: Pol.  $ND_3$  solid target

LOI-11-003@JLab

The Deuteron Tensor Structure Function  $b_1$

A Proposal to Jefferson Lab PAC-38  
(Update to LOI-11-003)

J.-P. Chen (co-spokesperson), P. Solvignon (co-spokesperson),  
K. Allada, A. Camsonne, A. Deur, D. Gaskell,  
M. Jones, C. Keith, S. Wood, J. Zhang  
*Thomas Jefferson National Accelerator Facility, Newport News, VA 23606*

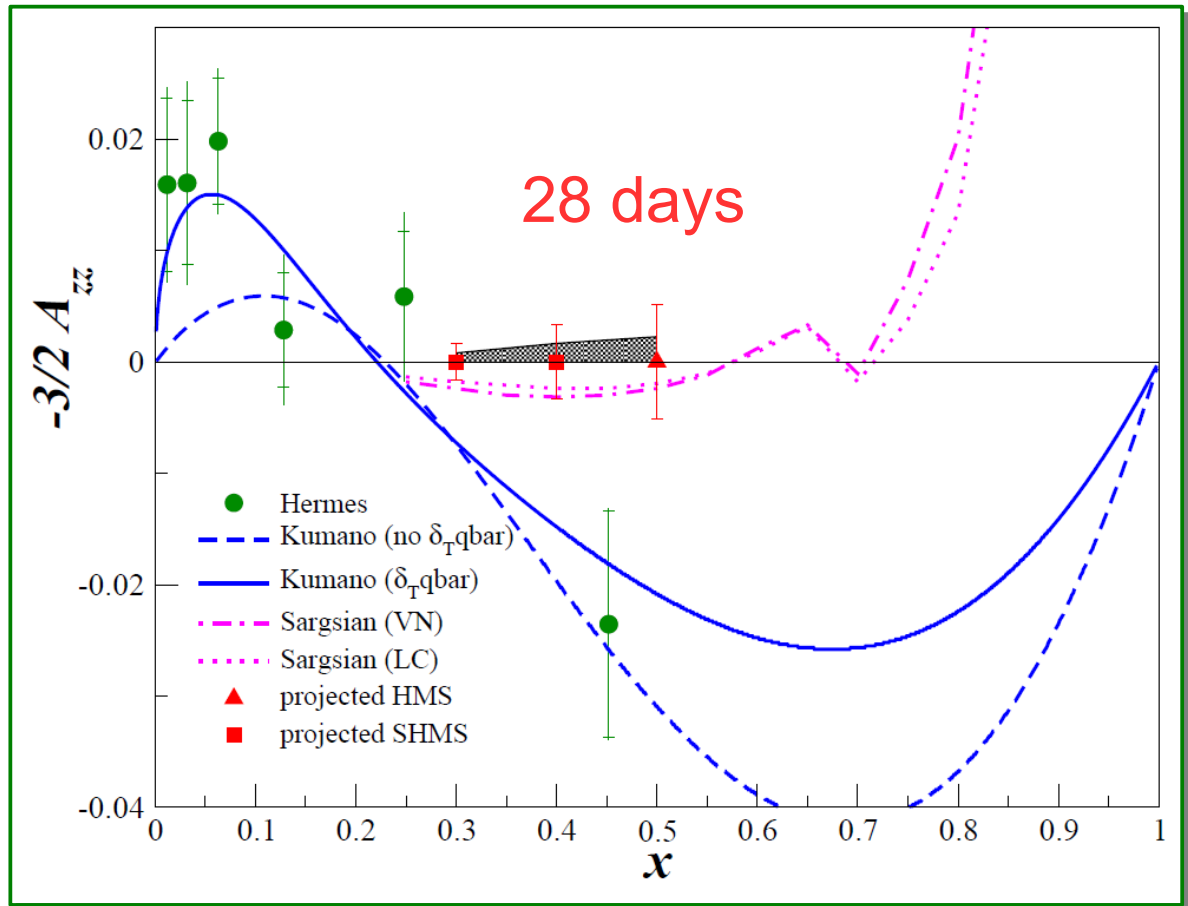
N. Kalantarians (co-spokesperson), O. Rondon (co-spokesperson)  
Donald Crabb, Donal B. Day, Hovhannes Baghdasaryan, Charles Hamretty  
Richard Lindgren, Blaine Norum, Zhihong Ye, X. Zheng  
*University of Virginia, Charlottesville, VA 22903*

K. Slifer†(co-spokesperson), A. Atkins, T. Badman,  
J. Calarco, J. Dawson, J. Maxwell, S. Phillips, R. Zielinski  
*University of New Hampshire, Durham, NH 03861*

J. Dunne, D. Dutta  
*Mississippi State University, Mississippi State, MS 39762*

G. Ron  
*Hebrew University of Jerusalem, Jerusalem*

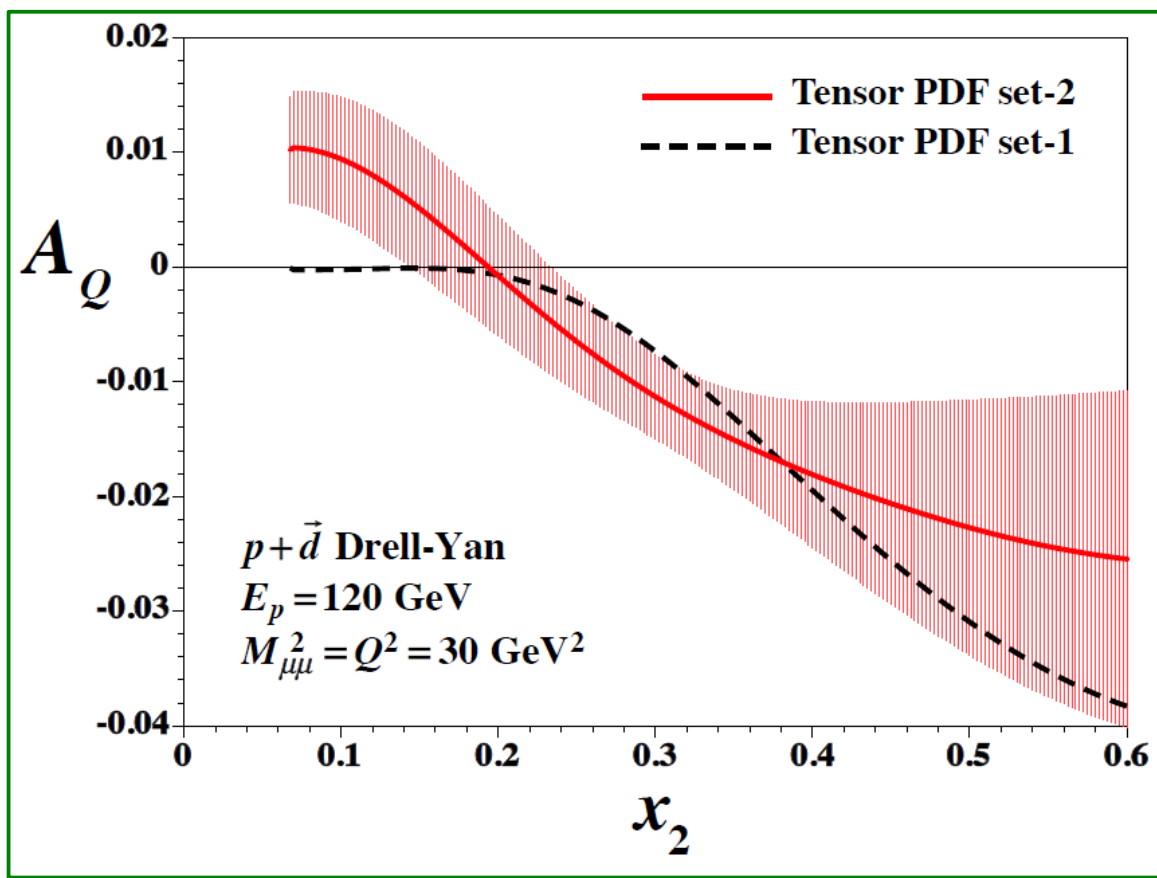
W. Bertozzi, S. Gilad, J. Huang  
A. Kelleher, V. Sulkosky  
*Massachusetts Institute of Technology, Cambridge, MA 02139*



# 固体標的による $b_1$ 測定

偏極 Drell-Yan での測定

※ Pol(-D) SeaQuest



Target:

Pol.  $\text{ND}_3$  solid target?

Shunzo Kumano and Qin-Tao Song,  
Phys. Rev. D 94, 054022 (2016)

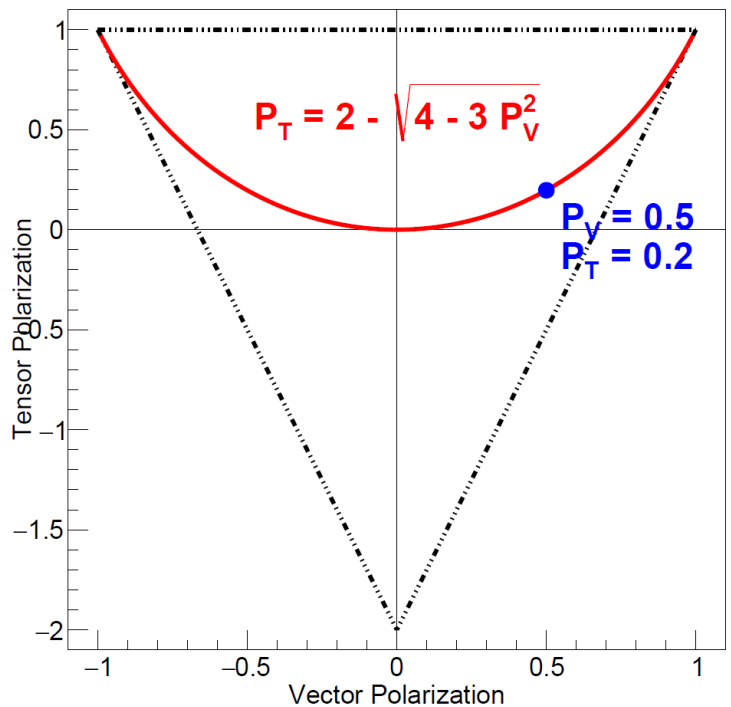
# Polarized Solid Target: ND<sub>3</sub>

WFT 1-3, SFT 2-4	no state			Cal	
SFT 2-5	WFT 1-4	(1) (1) (2)	+1	0	Sat
SFT 3-5	SFT 2-6	(1) (0)	0	+1	Data

## 動的核偏極による偏極

- 極低温、高磁場
- 電子偏極 → 重陽子偏極
- ⇔ **重陽子スピン温度**を電子で冷やす

$$\chi = \frac{\mu B}{2kT}$$

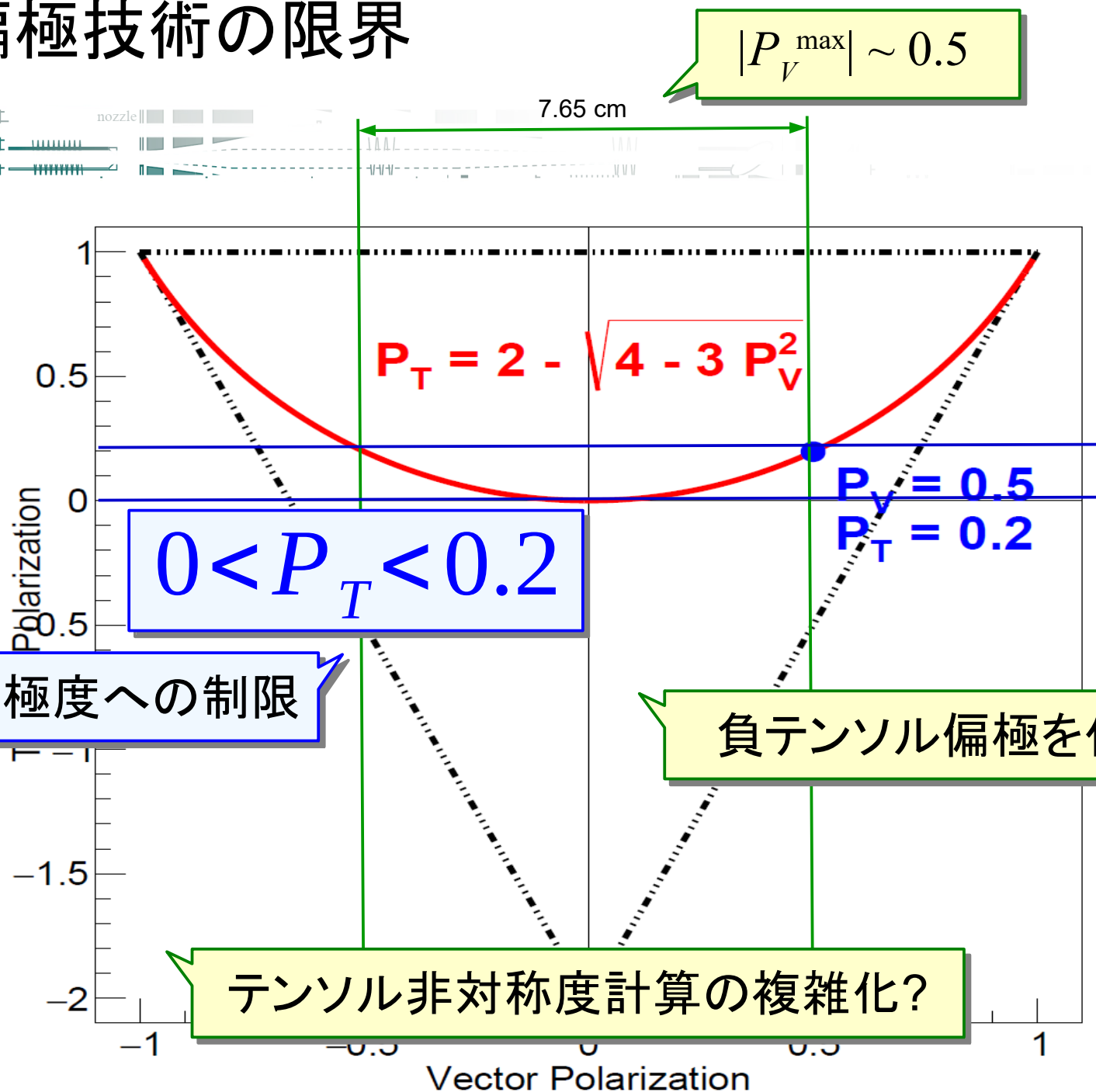


⇒ **高ベクトル偏極度**を得る

$$P_V = \frac{4 \tanh \chi}{3 + \tanh^2 \chi}$$

$$P_T = \frac{4 \tanh^2 \chi}{3 + \tanh^2 \chi}$$

# 動的核偏極技術の限界



テンソル偏極度への制限

負テンソル偏極を作れない

テンソル非対称度計算の複雑化?

# Figure of Merit

$$A_{zz}^d = \frac{2\sigma^1 - 2\sigma^0}{3\sigma_U P_{zz}^{\text{eff}}}$$

$$P_{zz}^{\text{eff}} = (P_{zz}^{\rightarrow} + P_{zz}^{\leftarrow} + P_{zz}^{\leftrightarrow} - 3P_{zz}^0)/9$$

$$\delta A \propto \frac{1}{P_T \cdot D}$$

	$P_V$	$P_T$	$D$	$f$
ND <sub>3</sub>	0.4	0.12	0.30	0.036
<sup>6</sup> LiD	0.3	0.07	0.50	0.035

※実際は  $\langle |P_T| \rangle$

HERMESの場合	0.9	~1.0	~0.9
-----------	-----	------	------

※ガス標的

DNPで得られるテンソル偏極度は限界がある  $0 < P_T < 0.2$

少しでもテンソル偏極度を増幅できれば効果は大きい?

高ベクトル偏極度を利用できるか?



# テンソル偏極化技術

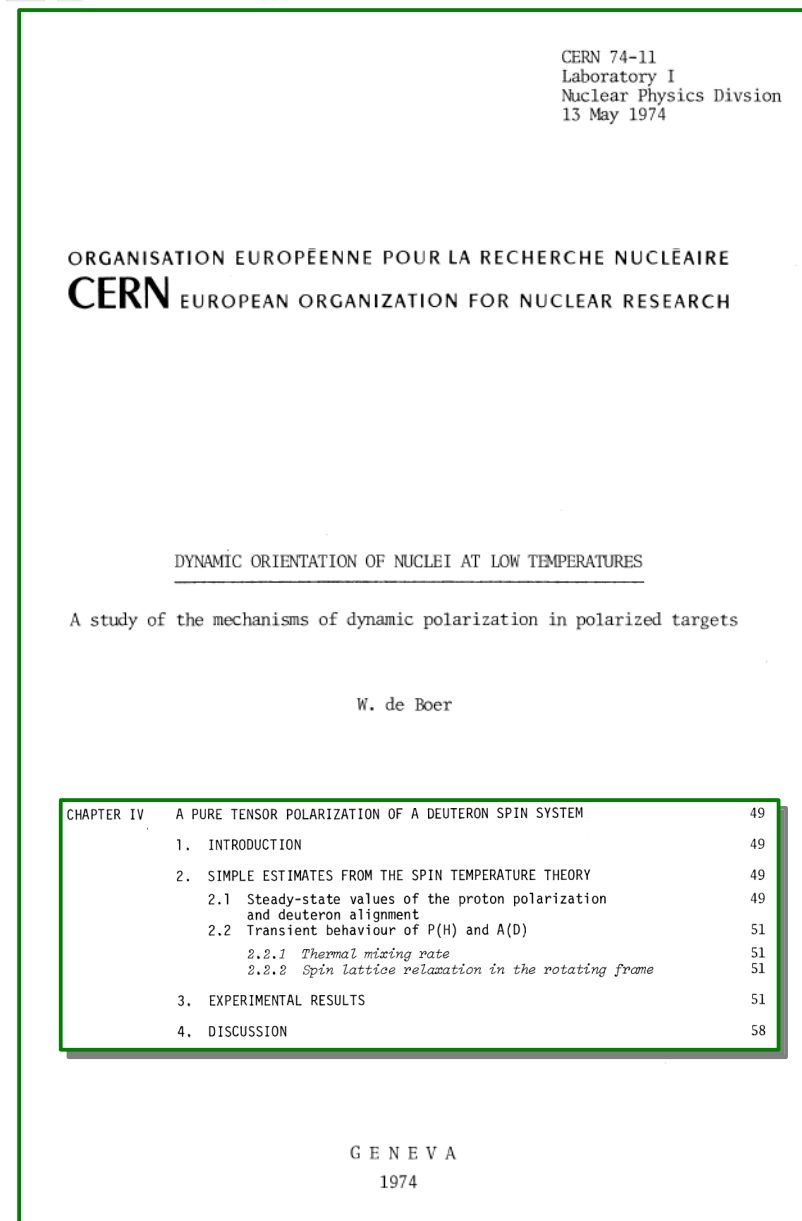
- 核偏極技術における長年の課題
  - ベクトル偏極⇒テンソル偏極
    - RF spin transfer:  $H \Rightarrow D$
    - RF hole burning
    - Adiabatic Fast Passage
    - Two microwave tubes
  - 実用的な手法は未確立
  - テンソル偏極度測定の問題

詳しくは

Tensor Polarized Deuterons, Introduction and General Ideas

C. Keith @ Tensor 2014

スライド



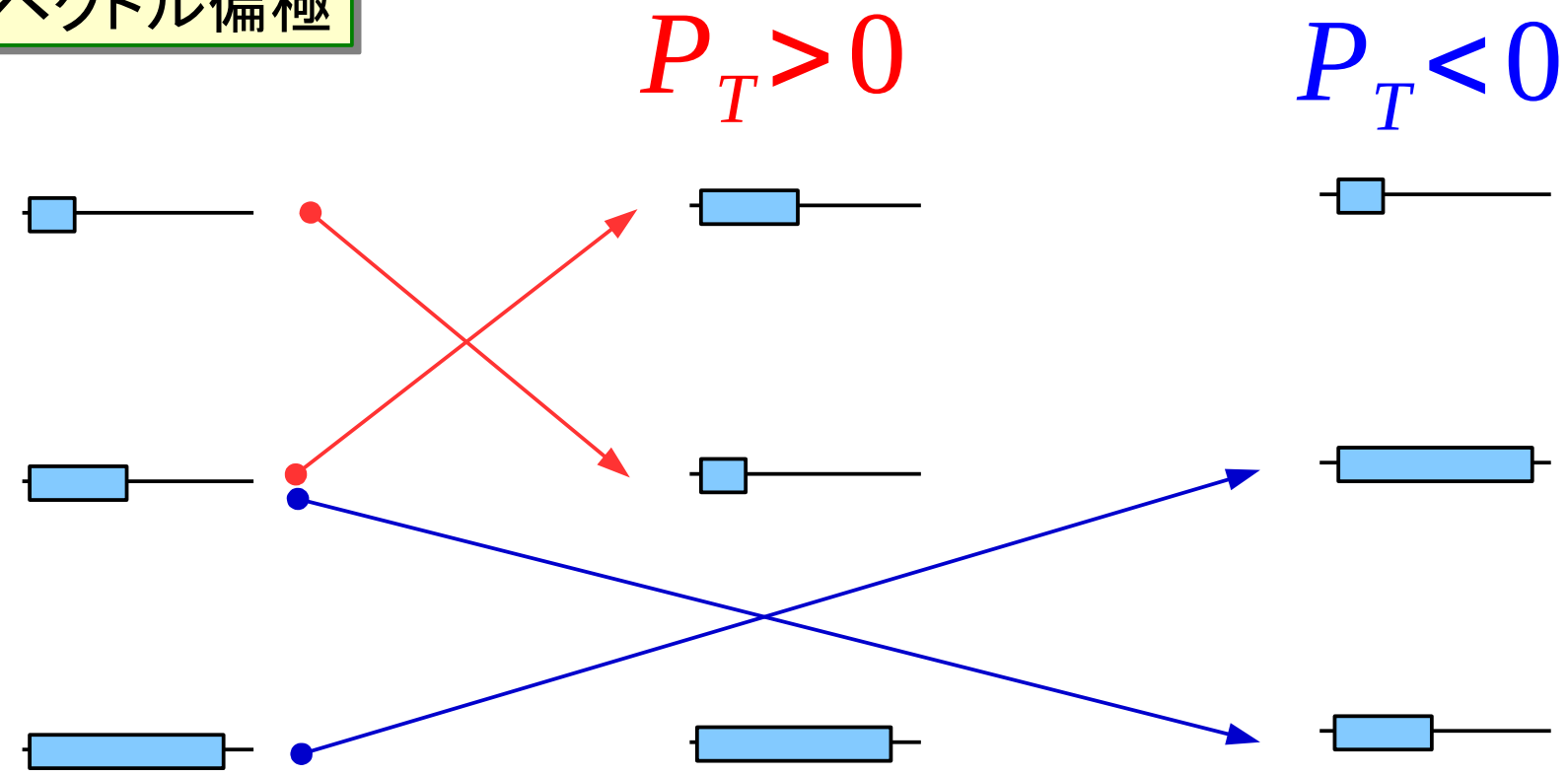
# テンソル偏極の実現: 基本的な考え方

WF1 1-3, SFT 2-4	—	no state	—	—	—	Cal
—	—	1/2 (1/2)	+1	0	0	Stat
SFT 2-5	WF1 1-4	1/2 (1/2)	0	+1	+1	Data
SFT 3-5	SFT 2-6	1/2 (1/2)	0	+1	+1	—

SFT 2-4 (MFT 2-3)	WF1 1-3	—	—	—	—	—
WF1 1-2 / MFT 1-2	SFT 1-2	—	—	—	—	—

DNPによる  
高ベクトル偏極

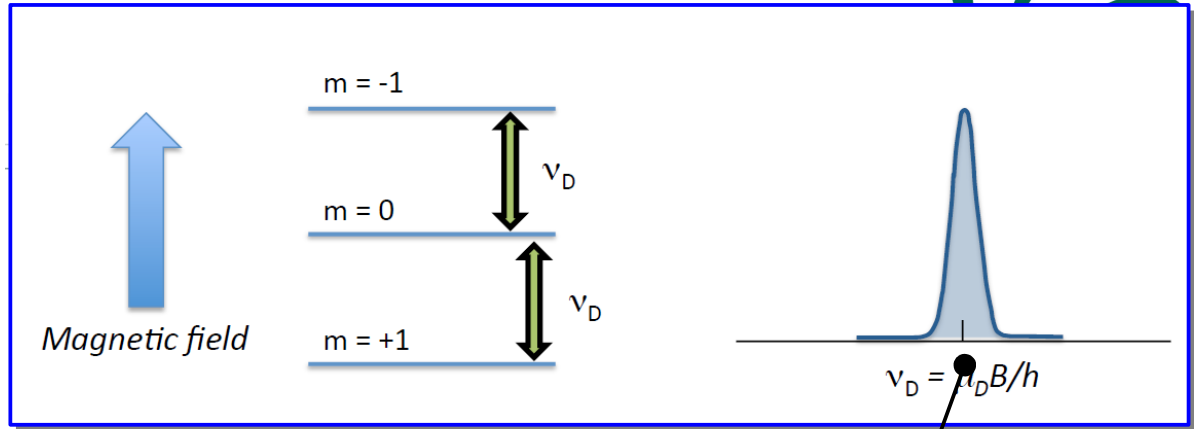
## 高テンソル偏極の実現



**+1 ↔ 0, 0 ↔ -1 を選別できるのか?**

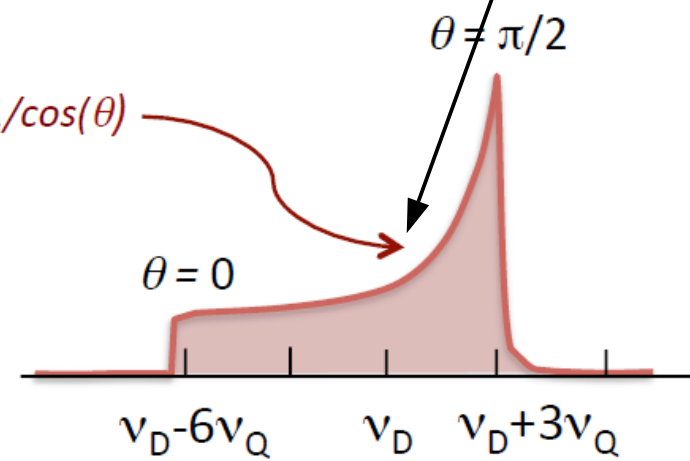
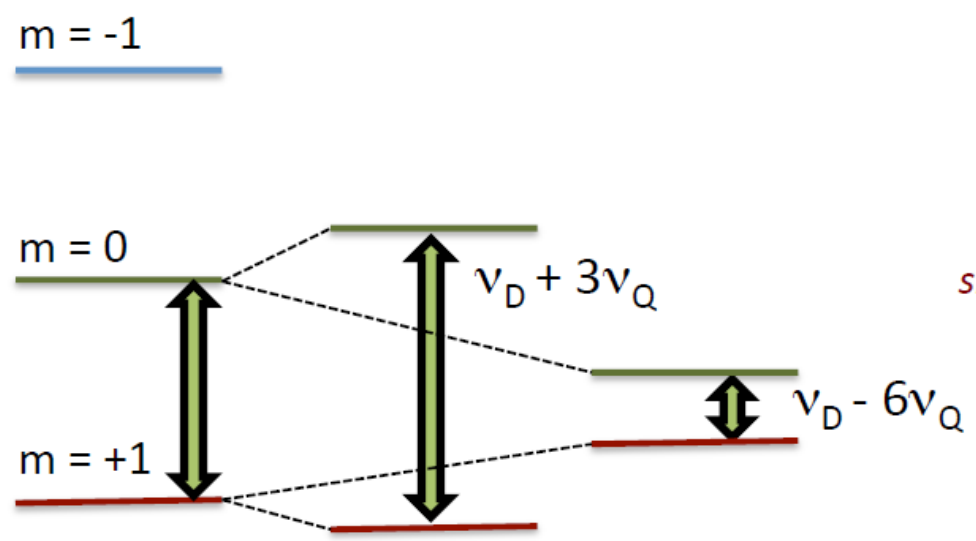
# 電気四重極モーメントの影響

## - NMR信号の形状変化



$$E_m = -h\nu_D m + h\nu_Q [3\cos^2\theta - 1][3m^2 - I(I+1)]$$

$\nu_D$  = deut. Larmor freq. (6.54 MHz/Tesla)  
 $\nu_Q$  = ND<sub>3</sub> quadrupole freq. (335.6 kHz)  
 $= 1/8 (e^2qQ/h)$   
 $eQ$  = deuteron quadrupole moment  
 $eq$  = electric field gradient  
 $\theta$  = angle between eq. & B

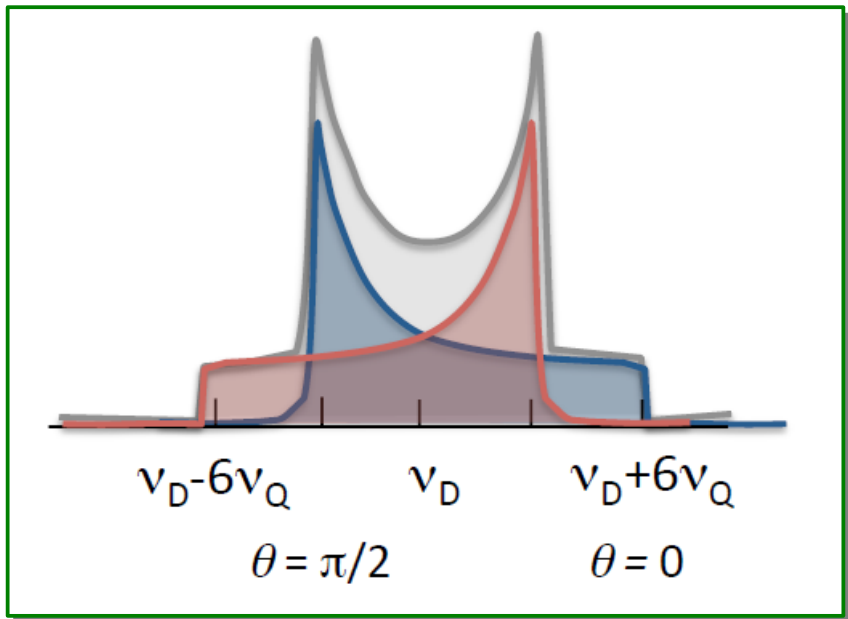
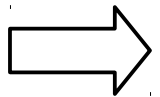
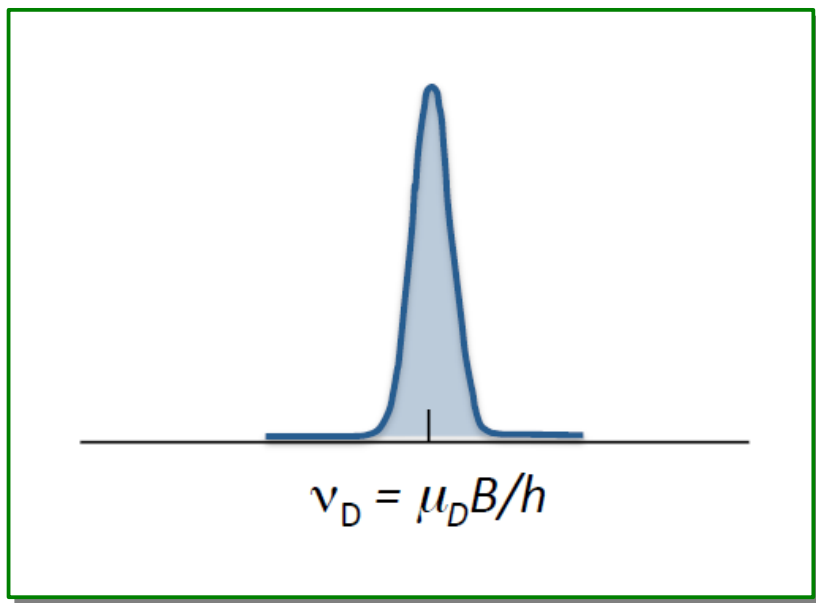
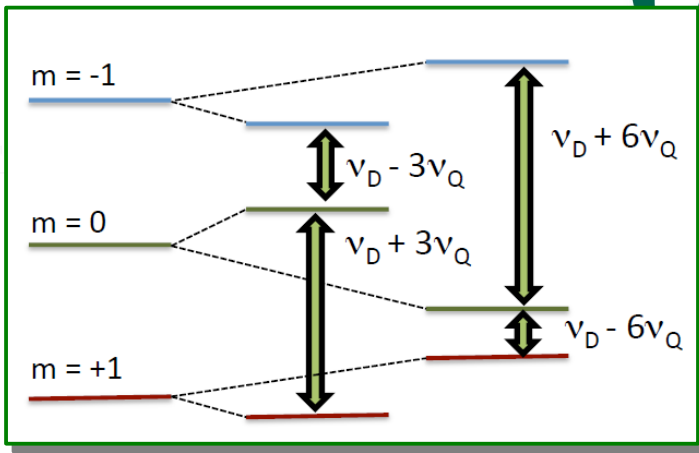


$\theta = \cos^{-1}(\sqrt{1/3})$       $\theta = \pi/2$       $\theta = 0$

# 重陽子の NMR信号形

WFL 1-3, SFT 2-4	no state				Cal
SFT 2-5	WFT 1-4	14 14/ 12	1.1	0	Sat
SFT 3-5	SFT 2-6	12 12/ 10	0.6	1	Sat
WFT 1-3, SFT 1-5		(1) (6)	0	+1	Data

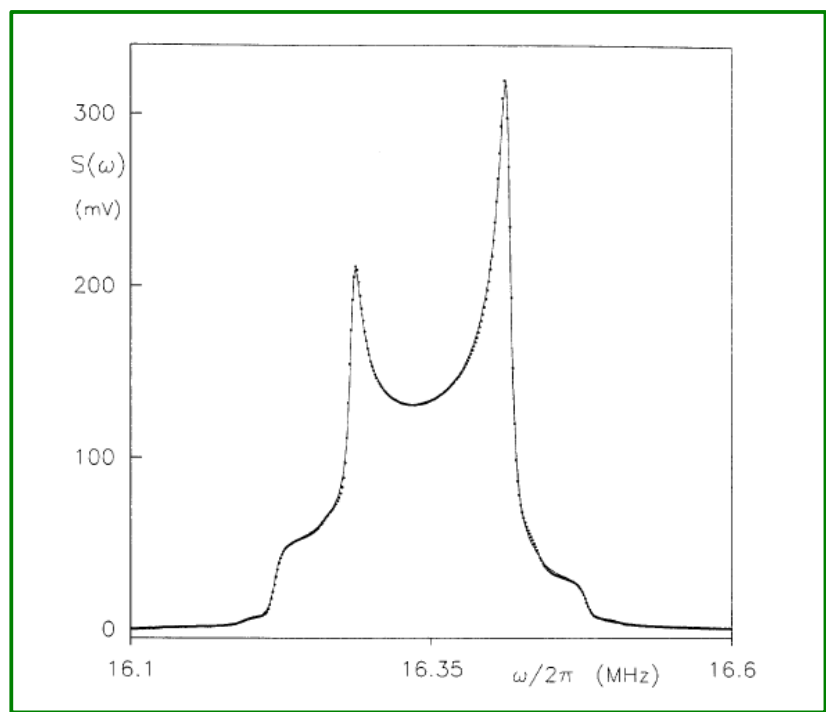
SFT 2-4 (MFT 2-3)	WFT 1-4	SFT 2-5
WFL 1-2 / MFL 1-2	SFT 2-6	WFT 1-3



# 重陽子NMR信号の例

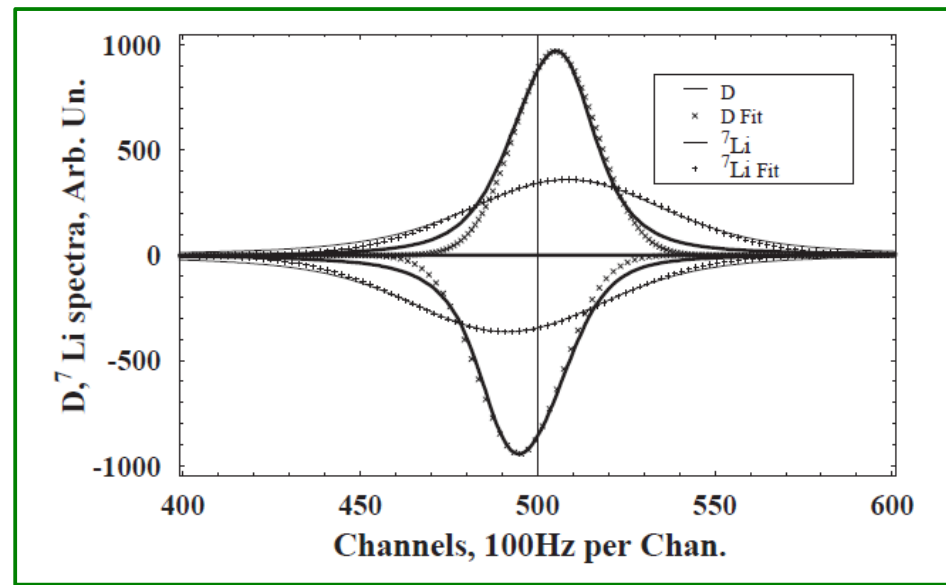


SMC, NIM A398 (1997) 109



$\text{ND}_3, P_V=0.44$

COMPASS, NIM A526 (2004) 105



${}^7\text{LiD}, |P_V| \sim 0.4$

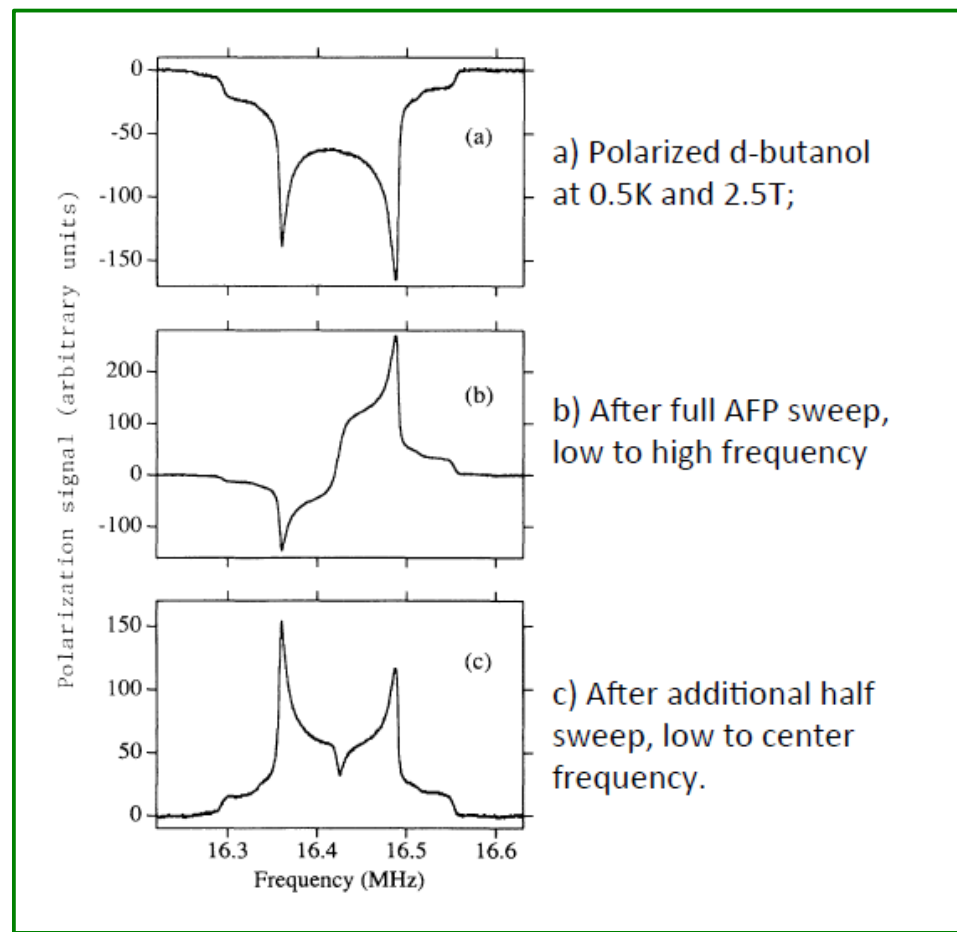
※立方晶系では電気四重極能率が相殺

# Adiabatic fast passage: 断熱通過法

WFL 1-3, SFT 2-4	no state	Cal	SFT 2-4 / MET 2-3	WFL 1-3
SFT 2-5	WFL 1-4	Sat	SFT 2-4 / MET 2-3	WFL 1-3
SFT 3-5	SFT 2-6	Data	WFL 1-2 / MET 1-2	WFL 1-3

- パルスNMRでの基本的技術  
スピン反転
- 例) DNP後に 0 ⇒ -1 反転  
高テンソル偏極度
- P. Hautle 等による検証  
PRB46(1992)6596
- Frozen Spin Mode  
高強度ビーム実験には不向き

P. Hautle et al, PRB46,6596

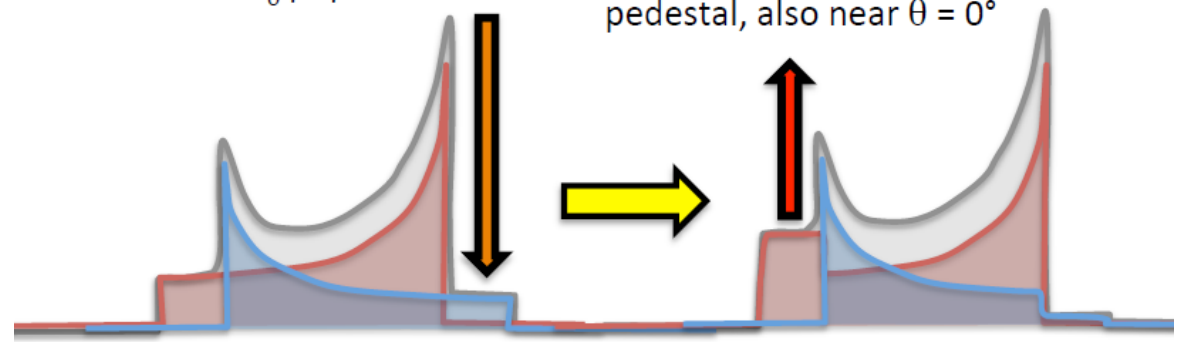


# RF hole burning



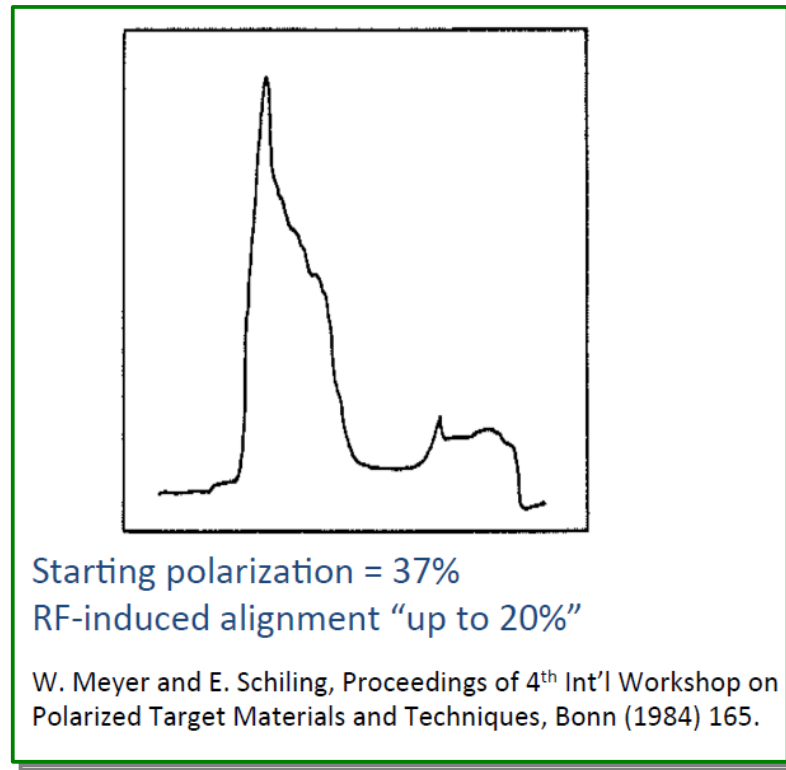
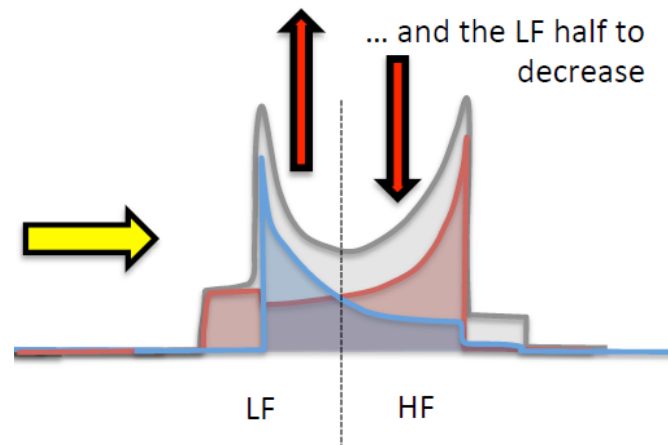
Saturating the HF pedestal reduces  $N_0$  pop. near  $\theta = 0^\circ$

This should increase the LF pedestal, also near  $\theta = 0^\circ$



Cross relaxation causes the entire LF half to increase...

... and the LF half to decrease

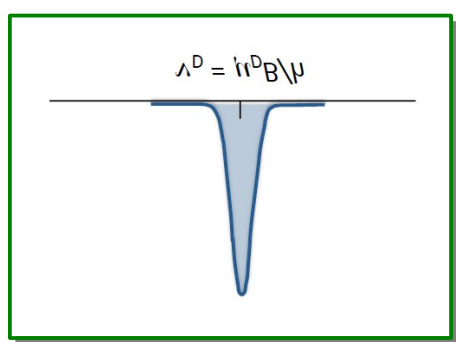
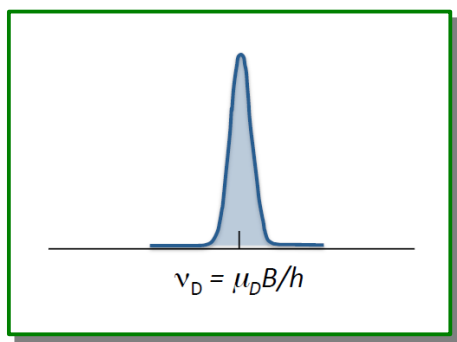
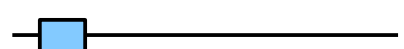
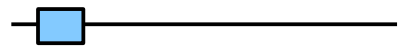


# テンソル偏極度測定 of 技術的課題

WF1 1-3, SFT 2-4	—	no state	—	—	—	Cal	SFT 2-4 (MFT 2-3)	WF1 1-3
SFT 2-5	WF1 1-4	1/2 (1/2)	+1	0	0	Sat	SFT 2-4 (MFT 2-3)	WF1 1-3
SFT 3-5	SFT 2-6	(1) (0)	0	+1	+1	Data	WF1 1-2 / SFT 1-2	SFT 1-2

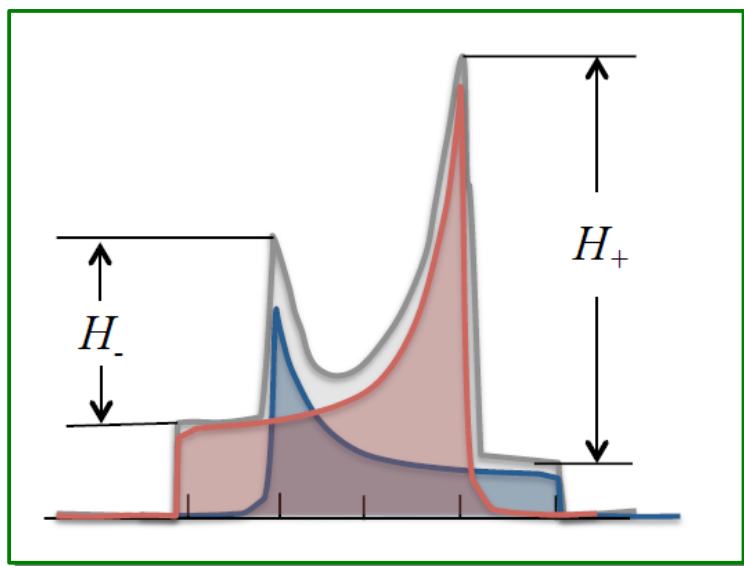
**NMR信号強度 = ベクトル偏極度**

$$P_V \propto S_{NMR}$$





# Peak-height method



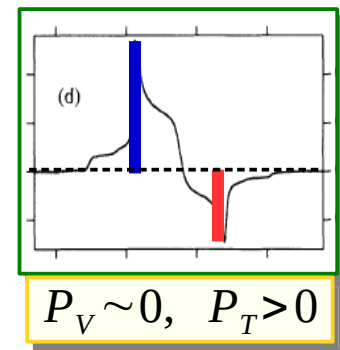
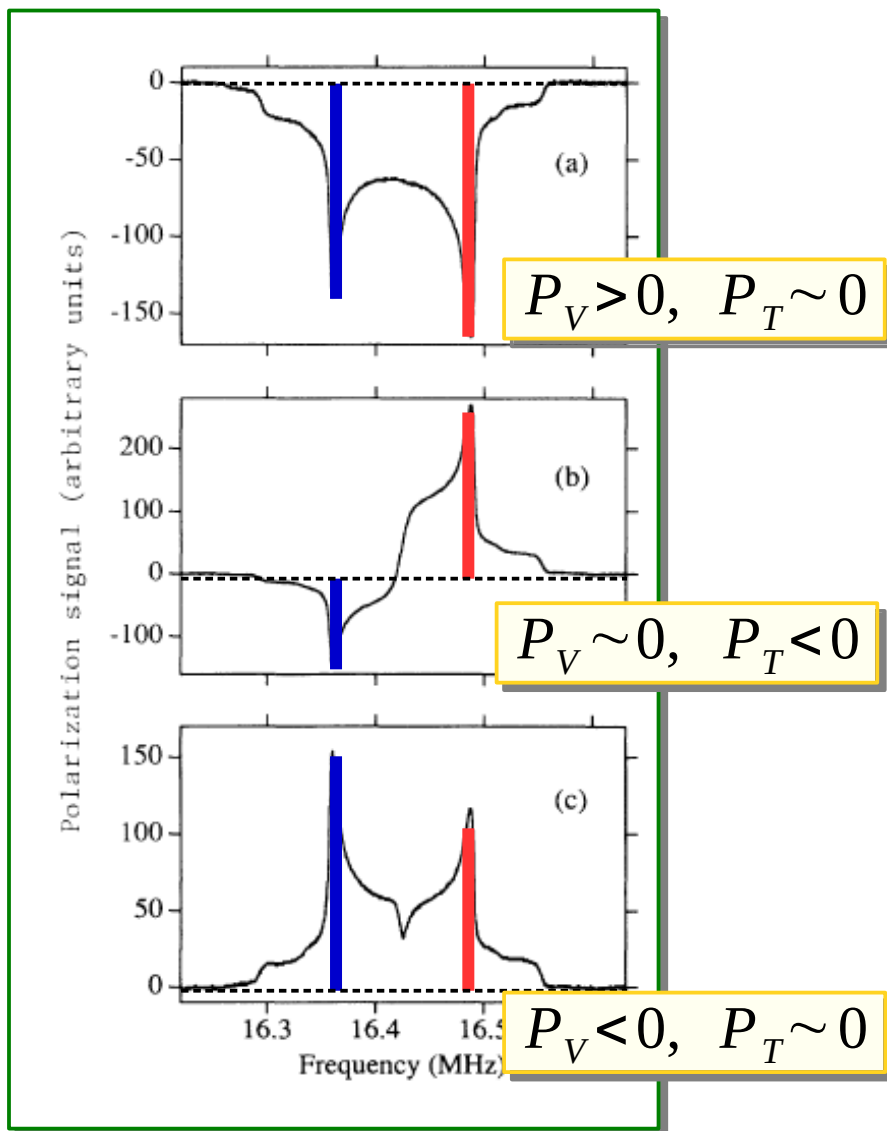
$$P_V = \frac{R^2 - 1}{R^2 + R + 1}$$

$$P_T = \frac{R^2 - 2R + 1}{R^2 + R + 1}$$

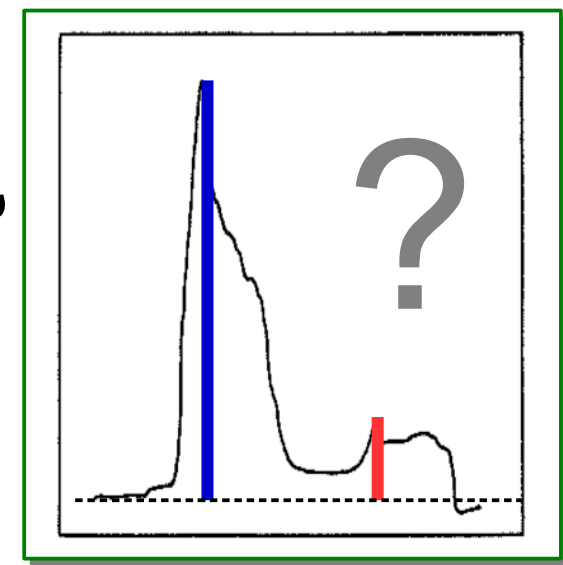
$$R = \frac{H_+}{H_-}$$

# テンソル偏極度測定のための技術的課題

WFL 1-3, SFT 2-4 | no state | Cal | SFT 2-4 (MFT 2-3) | WFL 1-3  
 SFT 2-5 | WFL 1-4 | Sat | SFT 2-4 (MFT 2-3) | WFL 1-3  
 SFT 3-5 | SFT 2-6 | (1) | 0 | +1 | +1 | Data | WFL 1-2 / MFT 1-2 | SFT 2-5



→  
RF-burningでも  
適用できるか？



# まとめ

- HERMESでの  $b_1$  構造関数測定
  - インターナルガス標的
  - Atomic Beam Source 法
    - スピン状態を選択  $\Rightarrow$  高テンソル偏極
- 固体標的による将来計画 (JLab、Fermilab、ILC-N)
  - 動的核偏極 (DNP) によるベクトル偏極
  - テンソル偏極への制限
  - 偏極標的技術の課題
    - ベクトル偏極  $\Rightarrow$  テンソル偏極技術の実現
    - テンソル偏極度測定法の確立